

Методы математической физики

Семинар № 7. Метод конечных элементов
на примере первой краевой задачи для уравнения Пуассона.

Мих. Дмитр. Малых

Физический факультет МГУ

2012/13 уч. г., версия от 20 июня 2012 г.

По каким функциям разлагать решение в произвольной области?

В случае круга и прямоугольника было вполне понятно, по каким функциям вести разложение. Для произвольной области указать подходящий набор функций удалось лишь в 1940-х годах, когда появился абрис того, что теперь называют *методом конечных элементов* (МКЭ, FEM) и открытие которого обычно связывают с именем *Рихарда Куранта* (Courant, 1943). Название – метод конечных элементов – было предложено Клафом в середине 1960-х годов [1].

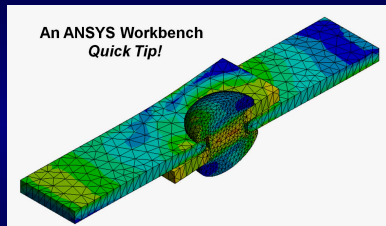
FEA Software

Работа Куранта не была замечена, но в конце 1950-х годов инженеры, занимавшиеся сопроматом, переоткрыли МКЭ. Рост популярности МКЭ во многом объясняется удобством его реализации на персональном компьютере. В настоящее время имеется великое множество компьютерных систем конечно-элементного анализа (FEA Software).

ANSYS, Inc.

В 1970 г. Джон Свенсон (John A. Swanson) в Пенсильвании основал Swanson Analysis Systems, Inc. (SASI), ставящую перед собой цель развитие программного обеспечение, основанного на МКЭ. В 1994 г. компания была продана и переименована в ANSYS, Inc.; одноименный продукт до сих пор существует на рынке.

<http://www.ansys.com>



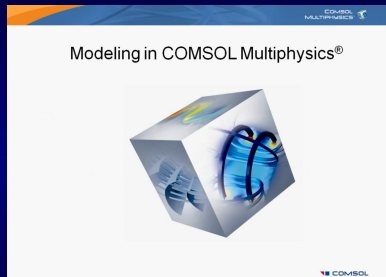
► YouTube

MatLab

В состав стандартной поставки MatLab'a входит Pde Toolbox, умеющий решать МКЭ основные линейные задачи мат. физики в плоских областях.

Хорошо интегрируется в MatLab пакет, созданный Comsol Multiphysics; его обычно называют FEMLab'ом.

<http://www.comsol.com>



▶ YouTube

FreeFem++

Мы будем использовать бесплатную программу FreeFem++, созданную в Лаборатории Ж.-Л. Лионса в Париже и поддерживающую большое число ОС: Linux, Mac OS X, Microsoft Windows и Solaris. Входит в репозиторий Ubuntu, начиная с версии 12.04.

Для справок см.:

- *Hecht F.* FreeFem++. Third Edition, Version 3.19. Laboratoire Jacques-Louis Lions, Université Pierre et Marie Curie, Paris, 2012.
- *Жуков М.Ю., Ширяева Е.В.* Пакет конечных элементов FreeFem++. Ростов-на-Дону, 2010

<http://www.freefem.org>

Задача

Первая краевая задача для уравнения Пуассона.

Простейшая краевая задача в 2d

Простейшей с точки зрения МКЭ является первая краевая задача для уравнения Пуассона, а именно

$$\begin{cases} \Delta u = f, & (x, y) \in \Omega \\ u|_{\partial\Omega} = 0. \end{cases} \quad (1)$$

Будем считать, что Ω – односвязная область на плоскости, ограниченная замкнутой кривой.

Классическое решение

Определение

Примем, что классическое решение дважды непрерывно дифференцируемо в области Ω и на ее границе.

Единственность такого решения очевидна: разность двух классических решений является решением однородной первой краевой задачи для уравнения Лапласа, и следовательно, равно нулю.

Вопрос о существовании классического решения оставим на потом, сосредоточившись на конструктивном построении такого.

Метод конечных элементов

Применение МКЭ к любой линейной краевой задаче мат. физики удобно разбить на несколько шагов:

- 1 триангуляция области,
- 2 построение системы базисных функций,
- 3 дискретизация дифференциального уравнения,
- 4 решение системы линейных алгебраически уравнений.

Шаг № 1

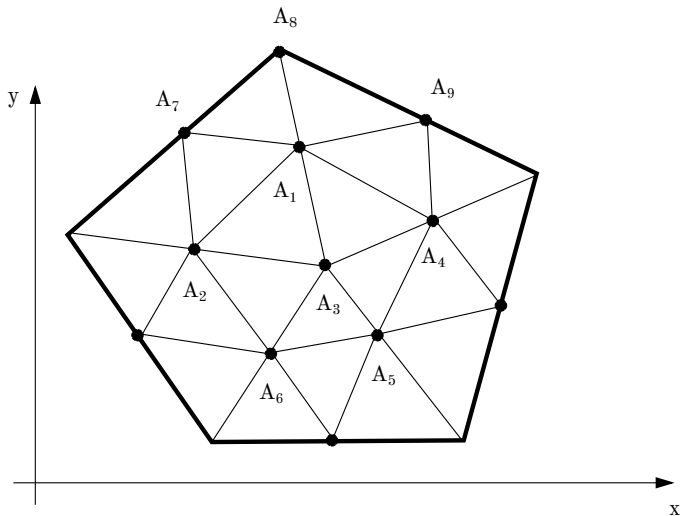
Триангуляция области

Триангуляция области

Разделим область Ω на треугольники, имеющие сходные размеры и пропорции. Линейные размеры треугольников сети характеризуют числом h , равным максимальной длине сторон треугольников.

В ручную заданную на клетчатой бумаге область поделить на небольшое число примерно равносторонних треугольников совсем не трудно. Если же треугольников много, применяют специальные алгоритмы триангуляции, восходящие к работе *Б.Н. Делоне* 1934 г. [4]

Триангуляция области



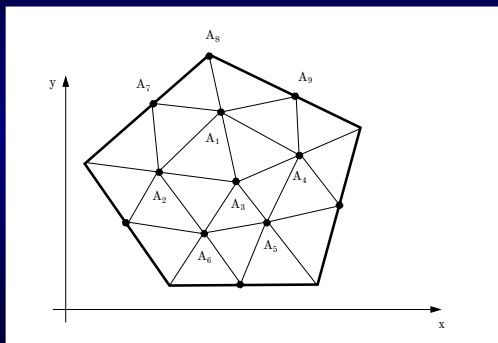
Терминология

Сами треугольники и называют конечными элементами, их вершины делят на внутренние, т.е. лежащие внутри области Ω , и граничные, то есть лежащие на границе этой области.

Две вершины будем называть соседними, если они являются вершинами одного треугольника.

Перенумеруем вершины в таком порядке, чтобы первыми шли внутренние вершины, а затем граничные. Число внутренних вершин будем обозначать как N .

Вершины



- Внутренние:
 $A_1, \dots, A_6,$
- граничные:
 $A_7, A_8, \dots,$
- соседние с A_1 :
 A_2, A_3, A_4 и
 $A_7, A_8, A_9.$

Пример: триангуляция эллипса

Для триангуляции эллипса создадим файл след. содержания.

Файл Poisson-1.edp

```
border C(t=0,2*pi){x=1.5*cos(t); y=sin(t);}
mesh Th = buildmesh (C(20));
plot(Th, ps="Poisson-1.eps",value=true,fill=false);
```

Здесь в первой строке задается граница C эллипса в параметрической форме, во второй задается сеть T_h с 20-тью вершинами на границе C , в третьей указано, что результат надо записать в графический файл Poisson-1.eps.

Пример: триангуляция эллипса

Теперь откроем терминал, перейдем в директорию, в которой находится файл `Poisson-1.edp`, и выполним команду

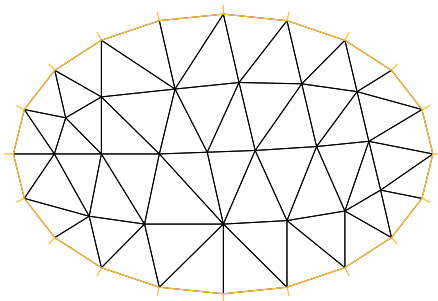
Терминал.

```
FreeFem++-nw Poisson-1.edp
```

В результате в той же директории будет создан файл `Poisson-1.eps`.

Замечание. – Использование в пути к файлу русских букв может стать источником проблем.

Результат: файл Poisson-1.eps



Шаг № 2

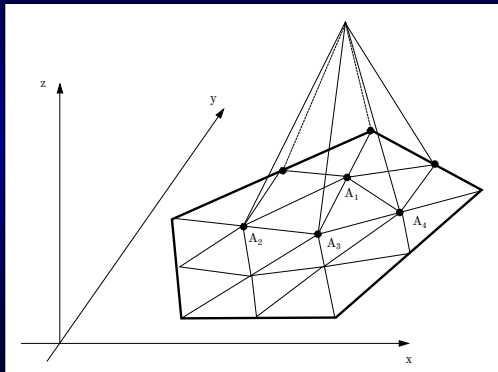
Построение системы базисных функций

Базисные функции

С каждой вершиной A_i свяжем функцию φ_i , которая линейна во всех конечных элементах и $\varphi_i(A_j) = \delta_{ij}$. Эта функция будет отлична от нуля только в тех треугольниках, одной из вершин которых является точка A_i .

График базисной функции φ_i

График функции φ_i представляет собой пирамиду высоты 1, основанием которой служит полигон с вершинами в точках, соседних с точкой A_i , а над самой точкой A_i размещается вершина пирамиды.



Линейная комбинация базисных функций

Линейная комбинация этих функций

$$\sum_i g_i \varphi_i(x, y)$$

является кусочно-линейной функцией, причем коэффициенты этой комбинации имеют очень простой геометрический смысл: g_i – значение этой функции в вершине A_i .

Разложение по базису

Для произвольной функции g разность

$$g(x, y) - \sum_i g(x_i, y_i) \varphi_i(x, y)$$

равна нулю во всех вершинах триангуляции.

Поскольку вершины триангуляции расположены друг от друга на расстоянии, примерно равном h , при надлежащих ограничениях на рост производной этой функции, эта функция всюду не больше h .

Разложение по базису

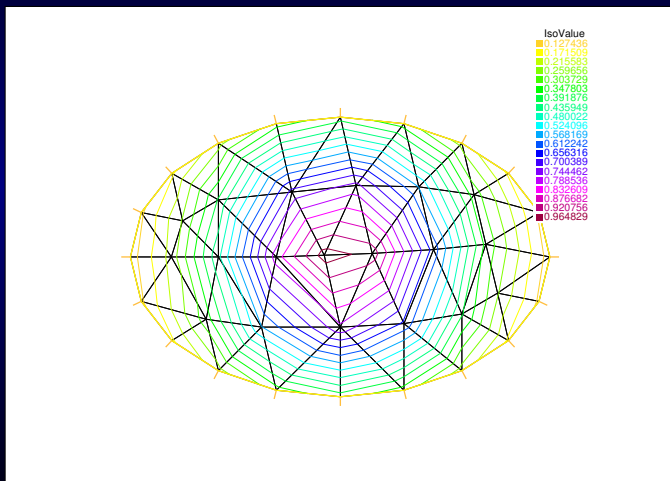
Гипотеза.

Любую функцию g можно аппроксимировать линейной комбинацией базисных функций, то есть с ошибкой порядка h верно

$$g(x, y) \approx \sum_i g(x_i, y_i) \varphi_i(x, y).$$

Справедливость этой гипотезы подтверждают многочисленные примеры.

Пример: аппроксимация функции $g = \exp(-x^2 - y^2)$.



Пример

Для построения этого рисунка в FreeFem++ нужно создать и выполнить файл след. содержания.

Файл Poisson-2.edp

```
border C(t=0,2*pi){x=1.5*cos(t); y=sin(t);}
mesh Th = buildmesh (C(20));
fespace Vh(Th,P1);
Vh gh=exp(-x^2-y^2);
plot(Th,gh, ps="Poisson-2.eps",value=true,fill=false);
```

Здесь в третьей строке задается линейная оболочка \mathcal{V}_h , натянутая на базисные функции, т.н. пространство конечных элементов (f. e. space), в четвертой вычисляется аппроксимация g_h для функция $\exp(-x^2 - y^2)$.

Замечание

При изменении в 3-ей строке параметра $P1$, скажем, на $P2$, вместо аппроксимации линейными функциями получится аппроксимация полиномами второго порядка.

Шаг № 3

Дискретизация уравнения Пуассона.

Приближенное решение

Будем искать решение краевой задачи (1) в виде линейной комбинации базисных функций, отвечающих внутренним вершинам:

$$u = \sum_{i=1}^N u_i \varphi_i(x, y);$$

число N при этом именуют числом свободных параметров. Мы берем в этой сумме только базисные функции, отвечающие внутренним вершинам, поскольку на границе решение должно обращаться в нуль.

Мы не можем подставить это выражение в уравнение Пуассона $\Delta u = f$, поскольку базисные функции не имеют второй производной.

Слабая постановка задачи

Умножим уравнение Пуассона $\Delta u = f$ на произвольную функцию v и проинтегрируем по области. В силу формулы Гаусса-Остроградского тождество

$$\int_{\Omega} dx dy (\nabla u, \nabla v) + \int_{\Omega} dx dy f v = 0 \quad (2)$$

верно для любой функции v , лишь бы она была непрерывна в $\overline{\Omega}$, кусочно-дифференцируема функций в Ω и равна нулю на границе.

СЛАУ

В частности при $v = \varphi_j$ для точного решения u верно

$$\int_{\Omega} dx dy (\nabla u, \nabla \varphi_j) + \int_{\Omega} dx dy f \varphi_j = 0. \quad (j = 1, 2, \dots, N)$$

Подставляя сюда

$$u = \sum_{i=1}^N u_i \varphi_i(x, y)$$

получим систему из N алгебраических уравнений для отыскания N коэффициентов u_i , именно

$$\sum_{i=1}^N \int_{\Omega} dx dy (\nabla \varphi_i, \nabla \varphi_j) u_i + \int_{\Omega} dx dy f \varphi_j = 0 \quad (j = 1, 2, \dots, N)$$

Приближенное решение

Определение

Мы принимаем за приближенное решение u_h исходной краевой задачи линейную комбинацию

$$u_h = \sum_{i=1}^N u_i \varphi_i(x, y),$$

которая точно удовлетворяет соотношению (2), т.е.

$$\int_{\Omega} dx dy (\nabla u, \nabla v) + \int_{\Omega} dx dy f v = 0$$

для всех функций v , которые сами являются линейной комбинацией базисных функций.

Шаг № 4

Решение СЛАУ.

СЛАУ в матричной форме

Исходная краевая задача свелась к системе алгебраических уравнений

$$\mathfrak{A}u + \mathfrak{f} = 0,$$

где \mathfrak{A} – матрица $N \times N$ с элементами

$$a_{i,j} = \int_{\Omega} dx dy (\nabla \varphi_i, \nabla \varphi_j),$$

\mathfrak{f} – столбец длины N с элементами

$$f_i = \int_{\Omega} dx dy f \varphi_i,$$

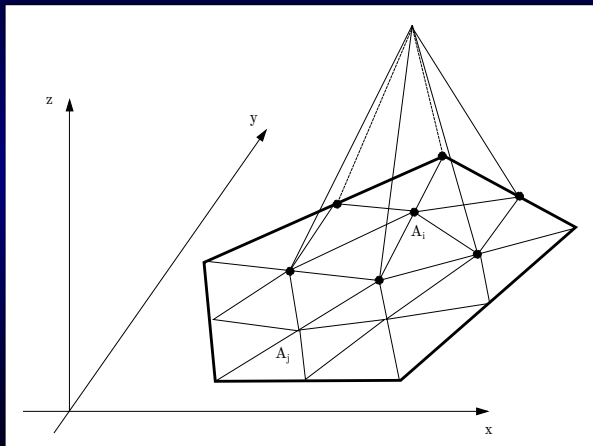
а u – столбец длины N , элементами которого служат искомые коэффициенты u_i .

СЛАУ большого порядка

Остается получившуюся систему линейных уравнений решить средствами линейной алгебры. Хотя на практике число свободных параметров N может иметь порядок сотни или даже тысячи, современные пакеты для работы с матрицами вычисляют u за доли секунды. Однако не следует воображать себе, что при этом применяется правило *Крамера*, бывшее основным способом решения линейных уравнений в учебниках по Линейной алгебре в XIX веке.

FreeFem++ использует при работе со СЛАУ сторонний пакет – UMFPACK (unsymmetric multifrontal sparse LU factorization package) Тима Девиса (Timothy A. Davis, 1994).

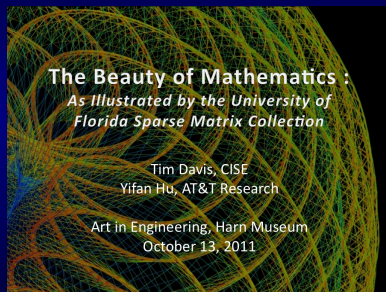
Структура матрицы и вершины сетки



Если i -ая и j -ая вершины не являются соседними, то $a_{ij} = a_{ji} = 0$.

Разреженность матрицы

Если каждая вершина соседствует не более чем с m другими вершинами, то среди N^2 элементов матрицы имеется лишь mN ненулевых элементов. Такие матрицы называются *разреженными* и последние лет 40 развития линейной алгебры были направлены на изобретение особых алгоритмов работы с такими матрицами [5].



► Показать

Ответ

Остается написать ответ или в виде суммы

$$u = \sum_{i=1}^N u_i \varphi_i(x, y),$$

или приняв u_i за найденные значения решения в вершинах $\{A_i\}$.

Замечание. – Как отмечалось выше, часто интересно знать не саму функцию u , а ее максимум. Для его отыскания больше не надо ничего дифференцировать, просто

$$u_{\max} = \max_{i=1..N} u_i.$$

Пример.

Краевая задача в эллипсе.

Постановка задачи.

Рассмотрим краевую задачу

$$\left\{ \begin{array}{l} \Delta u + e^{-x^2-y^2} = 0, \\ u|_C = 0 \end{array} \right.$$

в уже знакомом нам эллипсе C . Специфической особенностью FreeFem++ является необходимость задавать уравнение в слабой форме (2), т.е. в данном случае

$$\int_{\Omega} dx dy (\nabla u, \nabla v) - \int_{\Omega} dx dy e^{-x^2-y^2} v = 0$$

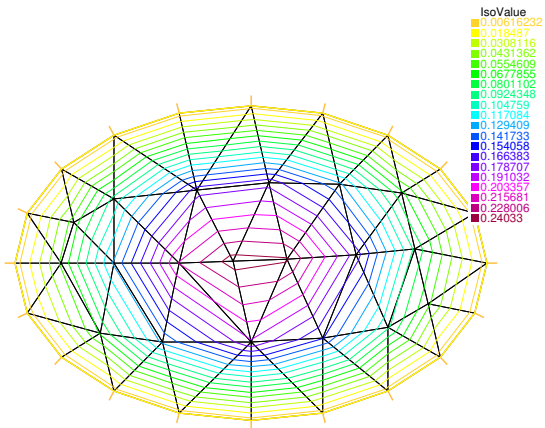
для любой функции v , обращаящейся в нуль на границе C .

Решение задачи в FreeFem++.

Файл Poisson-3.edp

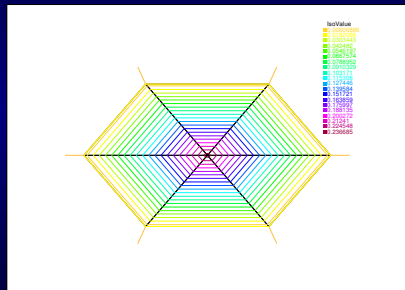
```
border C(t=0,2*pi){x=1.5*cos(t); y=sin(t);}
mesh Th = buildmesh (C(20));
fespace Vh(Th,P1);
Vh u,v;
solve Poisson(u,v,solver=LU) =
  int2d(Th)(dx(u)*dx(v) + dy(u)*dy(v))
  + int2d(Th)( -exp(-x^2-y^2)*v)
  + on(C,u=0);
plot(Th,u,ps="Poisson-3.eps",value=true,fill=false);
```

Ответ: файл Poisson-3.eps



Какую СЛАУ решает FreeFem++ на самом деле?

Для обозримости возьмем не 20, а всего 6 точек на границе. По идеи, в этом случае имеется 1 базовая функция и, следовательно, СЛАУ сводится к одному уравнению.



Вывод СЛАУ на печать

Файл Poisson-4.edp

```
border C(t=0,2*pi){x=1.5*cos(t); y=sin(t);}
mesh Th = buildmesh (C(6));
fespace Vh(Th,P1);
Vh u,v;
varf a(u,v) = int2d(Th)( dx(u)*dx(v) + dy(u)*dy(v))
+ on(C,u=0) ;
matrix A=a(Vh,Vh);
varf l(unused,v) = int2d(Th)(exp(-x^2-y^2)*v)+on(C,unused=0);
Vh f; f[] = l(0,Vh);
u[]=A^-1*f[];
cout << "A = " << A << endl;
cout << "f = " << f[] << endl;
cout << "u = " << u[] << endl;
plot(Th,u,ps="Poisson-4.eps",value=true,fill=false);
```

СЛАУ в FreeFem++.

$$\begin{pmatrix}
 10^{30} & -0.4 & -0.4 & -0.1 & & & & \\
 -0.4 & 10^{30} & 0 & -0.9 & -0.1 & & & \\
 -0.4 & 0 & 10^{30} & -0.9 & 0 & -0.1 & & \\
 -0.1 & -0.9 & -0.9 & 3.7 & -0.9 & -0.9 & -0.1 & \\
 0 & -0.1 & 0 & -0.9 & 10^{30} & 0 & -0.4 & \\
 0 & 0 & -0.1 & -0.9 & 0 & 10^{30} & -0.4 & \\
 0 & 0 & 0 & -0.1 & -0.4 & -0.4 & 10^{30} &
 \end{pmatrix}
 \begin{pmatrix}
 u_1 \\
 u_2 \\
 u_3 \\
 u_4 \\
 u_5 \\
 u_6 \\
 u_7
 \end{pmatrix}
 =
 \begin{pmatrix}
 0 \\
 0 \\
 0 \\
 0.9 \\
 0 \\
 0 \\
 0
 \end{pmatrix}$$

Реализация условий Дирихле в FreeFem++.

FreeFem++ ищет решение в виде

$$u = \sum u_i \varphi_i,$$

распространив сумму и на граничные вершины с № 1-3, 5-7, но увидев `on(C,u=0)`, для этих номеров заполняет диагональ матрицы \mathfrak{A} очень большим числом 10^{30} , а f – нулями.

Разумеется 6 уравнений (при $i \neq 4$) дают

$$10^{30}u_i + \dots = 0 \quad \Rightarrow \quad u_i = 0,$$

а оставшееся

$$3.7u_4 = 0.9 \quad \Rightarrow \quad u_4 = 0.24.$$

tgV в FreeFem++.

В документации ([2], стр. 16) это очень большое число так и называется tgV (très grande valeur), по умолчанию оно равно 10^{30} , но при желании его можно переопределить.

Такой неожиданный способ реализации условий Дирихле был избран из-за того, что разработчики не захотели писать два разных блока для условий Дирихле и условий Неймана. При решении задач с небольшим числом элементов он, конечно, весьма неэкономичен, а в задачах на собственные значения и вовсе приводит к появлению лишних собственных значений.

Домашняя работа

Выполненную домашнюю работу следует собрать в один pdf-файл и послать по адресу mmph@narod.ru, указав в теме письма номер группы. В ответ придут замечания и комментарии. После одной такой итерации работа будет *опубликована* на сайте <http://mmph.narod.ru>.

Домашняя задача № 1

Используя любую понравившуюся систему конечно-элементного анализа, решите краевую задачу в круге:

$$\begin{cases} \Delta u = \sin x \sin y, & (r < 1) \\ u|_{r=1} = 0 \end{cases}$$

Ответ представьте в виде графика. Что меняется с увеличением числа треугольников?

Домашняя задача № 2

Докажите след. утверждение: если u дважды непрерывно дифференцируема в замыкании области Ω и удовлетворяет условию (2) при всех гладких v , обращающихся в нуль на границе Ω , то она удовлетворяет и уравнению Пуассона $\Delta u = f$.

Ссылки



Деклу. Метод конечных элементов. М., 1976.



Hecht F. FreeFem++. Third Edition, Version 3.19. Laboratoire Jacques-Louis Lions, Université Pierre et Marie Curie, Paris, 2012.



Жуков М.Ю., Ширяева Е.В. Пакет конечных элементов FreeFem++. Ростов-на-Дону, 2010



Скворцов А.В. Триангуляция Делоне и ее применение. Томск: Изд-во Том. ун-та, 2002.



Yousef Saad. Iterative Methods for Sparse Linear Systems. Самиздат, 2000.

Конец семинара № 7



© 2012 г., Михаил Дмитриевич Малых. Текст доступен на условиях лицензии Creative Commons Attribution-Share Alike 3.0 Unported.